

Астрономические явления и гравитация – реакция материи на вихревое и ускоренное движение эфира

Презентация основана на 2-х работах:

- ***“Гравитация и инерция как реакция на ускоренное движение эфира”*** - рассматривается гравитация как реакция на ускоренное движение эфира через объект, и инерция как ускоренное движение объекта в эфире.
Файл в формате PDF: https://yadi.sk/i/szq5mDq9_mGo8g или http://www.course-as.com/download/zip/AEM_Gravy.pdf

- ***“Астрономические явления как реакция материи на вихревое движение эфира”*** - природа создала самое универсальное - движение и вращение эфира - как первичную субстанцию, среду, из которой рождается Жизнь - от Протона до Галактик, от полного Хаоса до высокоорганизованного Разума, реализуя главный закон Вселенной - непрерывный процесс трансформации Эфира из небытия в Бытие (Жизнь) и обратно.
Файл в формате PDF: <https://disk.yandex.ru/i/htd0RK549FhUNQ> или http://www.course-as.com/download/zip/AEM_Astro.pdf

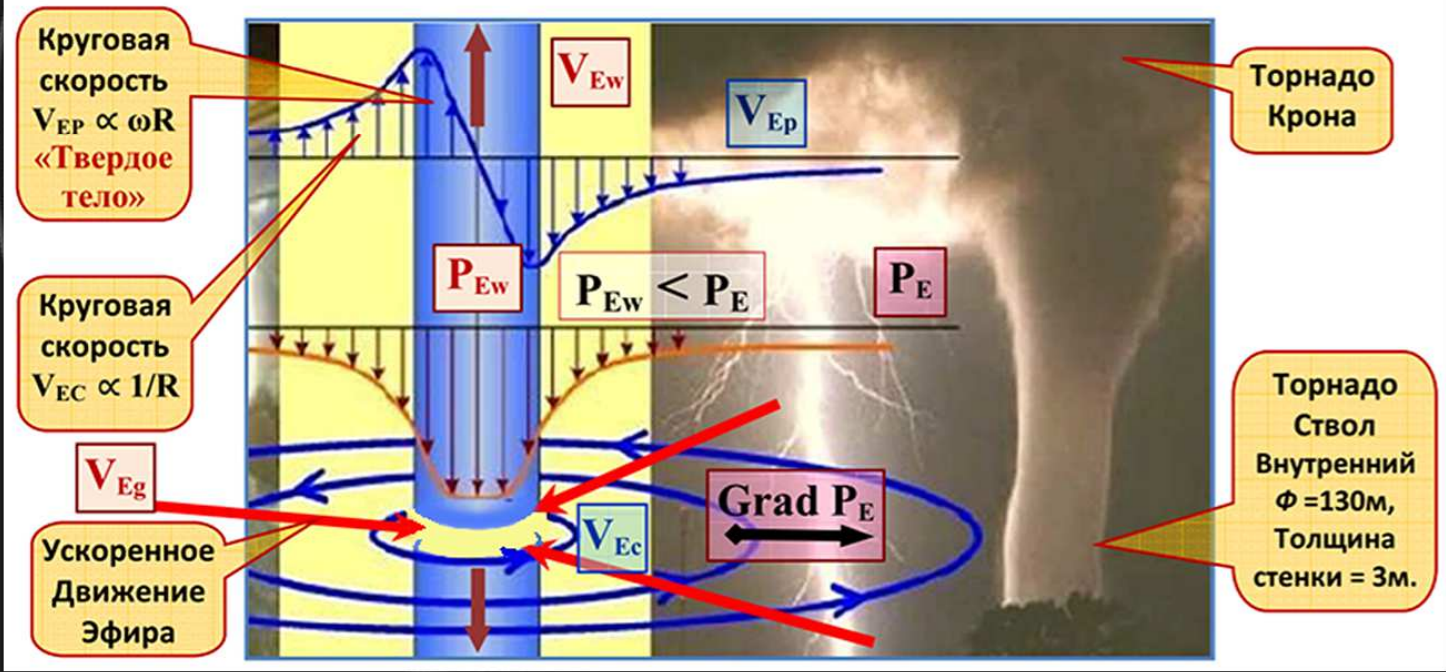
“Градиентная Эфиродинамика” - ресурсы автора в iNet-e :
http://www.course-as.ru/AEM_GE/AEM_GED.html
<https://zen.yandex.ru/id/5f2bb1d3d4bc814db7d741a2>

Астрономические явления и гравитация – реакция материи на вихревое и ускоренное движение эфира

Эфирный вихрь – универсальный механизм космоса

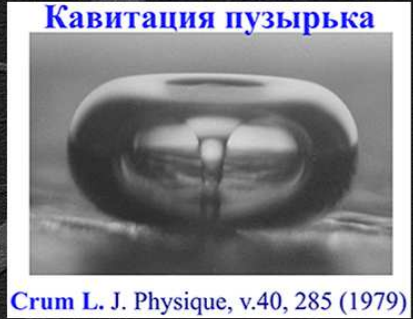
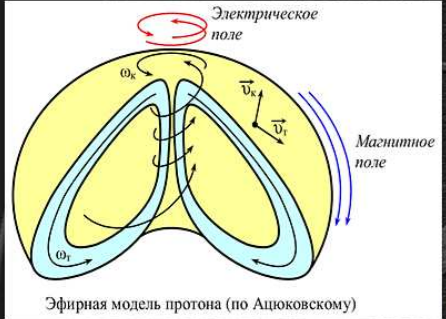
Движение эфирных потоков под действием градиентов эфирного давления:

- в радиальном направлении – внутри линейная зависимость - $V_{EP} \propto \omega R$ и вдоль стенок уплотненного эфира V_{Ew} (стволовой спиральный остов внутри эфирного вихря),
- и снаружи - обратно пропорциональная зависимость ($V_{EC} \propto 1/R$),
- справа торнадо – прообраз части (половина) эфирного космического вихря.



Эфиродинамическая основа эфирной среды – *Тороидальный Вихревой Процесс* от протона до галактик – как результат взаимодействия “Градиентов Эфирного Давления”

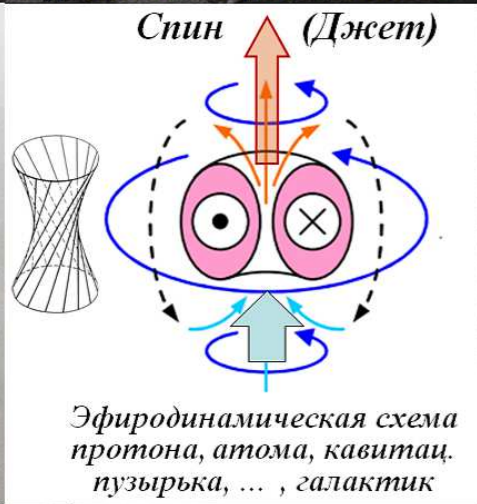
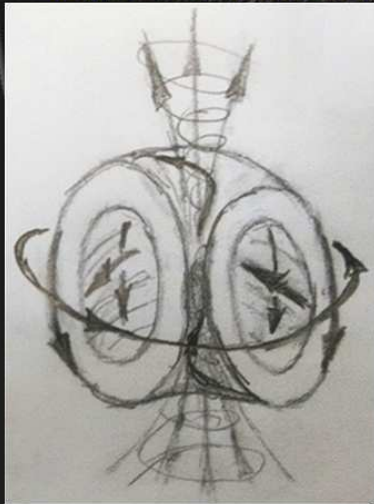
Модель Ацюковского В. А.



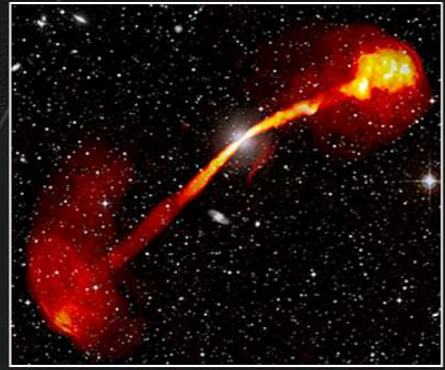
Эфиродинамическая модель тороидального эфирного вихря

Тороидальная эфирная модель Ацюковского расширена существенным вкладом прогоняемого через его центральную область эфирного потока, который представляет собой *спин (джет)* для всего диапазона масштабов: (у галактик и звезд эфирный *сдвоенный тороид вращения зеркально отраженный*).

Модель Эфирного Тороидального Вихря со Спином



Джеты галактики IC 4296



Астрономические явления и гравитация – реакция материи на вихревое и ускоренное движение эфира

Эфирный вихрь – универсальный механизм космоса

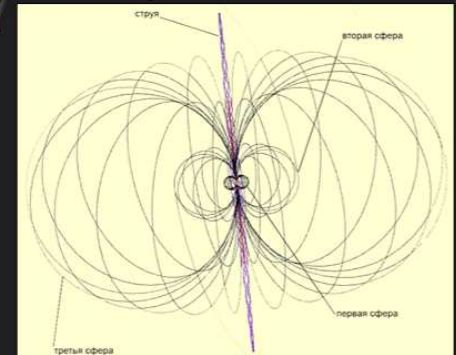
Галактический Эфирный Вихрь участвует одновременно в двух движениях: :

1. В центральной части ствола, за счет разности эфирного давления снаружи P_E и в центре стволовой части вихря P_{EW} , происходит всасывание эфира из внешней среды во внутреннюю часть ствола вихря и выбрасывание его вдоль стенок уплотненного ствола, показанное бордовыми стрелками, относительно дисковой области всасывания, в верхней и нижней внутренних частях ствола вихря (центральной) - соответственно область **"Твердого Тела"** ($V_{EP} \propto \omega R$).
2. С процессом всасывания эфира происходит вращение эфира, в прилегающей к дисковой области всасывания, показанное круговыми потоками эфира по часовой стрелке V_{EC} , скорость которого будет обратно пропорциональна расстоянию до стволовой части вихря, которое за счет центробежных сил уравнивает силу радиального давления эфира, возникающего под действием **Градиента Эфирного Давления – Grad P_E** ($V_{EC} \propto 1/R$).

Результатом этих процессов возникает **ускоренное радиальное движение эфира (V_{Eg})**, с одновременным вращательным движением – в дисковой области всасывания движение эфира происходит по сжимающейся спирали в сторону стволовой области вихря, одновременно с увеличением скорости потока эфира с ярко выраженным преобладанием радиальной составляющей скорости потока эфира (V_{EW}).

Усиливается его закручивание, что приводит к сильному падению давления эфира в центре Галактического эфирного вихря, которое будет восприниматься в области ядра как "гравитация" от эфирного вихря (**Grad $P_E \propto 1/R^2$**), т.к. ускорение **$g \propto 1/R^2$** .

Эфирные вихри могут вложенными друг в друга (и не обязательно соосны), на рисунке выделены - галактическое ядро, область рукавов, присоединенный эфирный вихрь и эфирные джеты.



Астрономические явления и гравитация – реакция материи на вихревое и ускоренное движение эфира

Эфирный вихрь звезды по имени “Солнце”

Рассмотрим солнечную систему с позиций “Градиентной Эфиродинамики”:

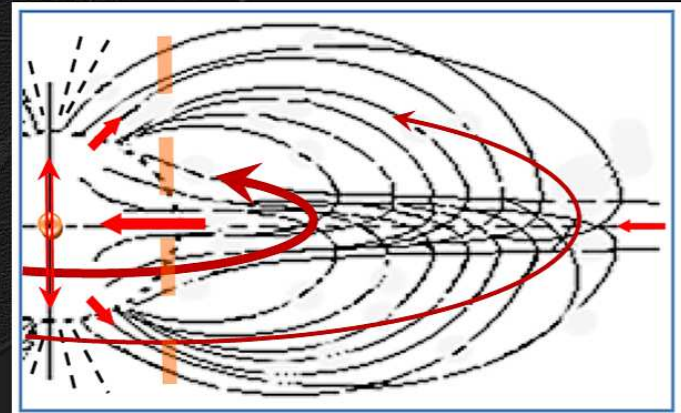
Скорость планеты обратно пропорциональна расстоянию до звезды, круговая скорость эфирного потока тоже обратно пропорциональна расстоянию до центра ствола эфирного вихря (по законам дискового вихревого эфирного потока).

Солнечный зонд “Паркер” (НАСА), подошел к Солнцу в 2019г. на минимальное расстояние в **0,25 а.е.** и обнаружил солнечный ветер, вращающийся вокруг звезды со скоростью до **50 км/сек.**, что **~ в 20 раз больше расчетных значений стандартной модели.**

Меркурий в перигелии (от Солнца на **0.3871 а.е.**), имеет круговую скорость **56,6 км/сек.**, а поток частиц, на расстоянии **≈ 0.25 а.е.**, движется с круговой скоростью до **50 км/сек.** – прекрасно вписывается в график скоростей планет, с учетом переходной зоны между **стволом эфирного вихря Солнца**, радиус которого **≈ 0.15-0.18 а.е.** и зоной “гравитации”.

Планеты звезд движутся с окружной скоростью синхронно с окружной скоростью потока эфира – как для круговых орбит, так и для эллиптических!

Меркурий в перигелии задевает переходный слой от **“Твердого Тела” Солнечного эфирного вихря.** Этим и объясняется прецессия его орбиты!



Астрономические явления и гравитация – реакция материи на вихревое и ускоренное движение эфира

Эволюция вращения планет и звёзд (ω) - “Закон Механики” (автор неизвестен)

Изменение скорости вращения звезд связано с эволюцией звезд, различаются два участка:

- первый участок (**планетный**) характеризуется ростом скорости вращения планеты.
- второй участок (**звездный**) характеризуется замедлением вращения звезды (**интересно!**).

Правило: периоды вращения от 30 до 6 часов могут принадлежать как звездам, так и планетам; а периоды вращения 30 часов и более характерны только для звезд.

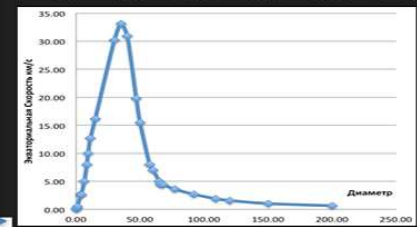
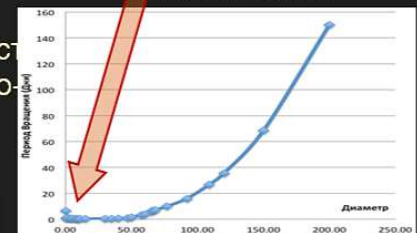
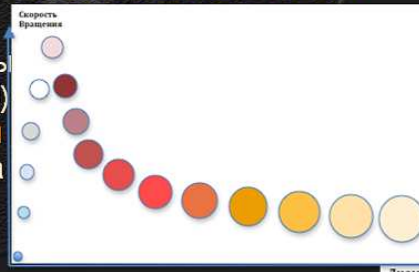
Левый график (справа внизу) показывает в увеличенном виде начальный (планетный) участок. Он содержит данные планет солнечной системы (первые шесть точек), и неких планет размером в 20, 30, 40 и 50 земных диаметров. Правый график (справа в середине) позволяет лучше видеть второй (звездный) участок, дополнен звездой размером в 70 земных диаметров, и Солнцем (109 земных диаметров).

Ускорение эфира на поверхности планеты увеличивается вместе с ростом ускорения свободного падения (g пропорционально R^2), растет и скорость эфира, которая раскручивает планету, против этого работает рост массы (пропорционально R^3), которое далее приводит к уменьшению скорости вращения (ω) планеты.

Замедление вращения (ω) звезды по мере роста диаметра (Φ)

вместе с ростом радиуса псевдопостоянная линейная скорость поверхности звезды продолжает расти периода вращения ($1/\omega$)

Существует только **одна эволюционная звездная последовательность** - планета вырастает в звезду, затем в сверх звезду, что и показано на рисунке в центре.



Астрономические явления и гравитация – реакция материи на вихревое и ускоренное движение эфира

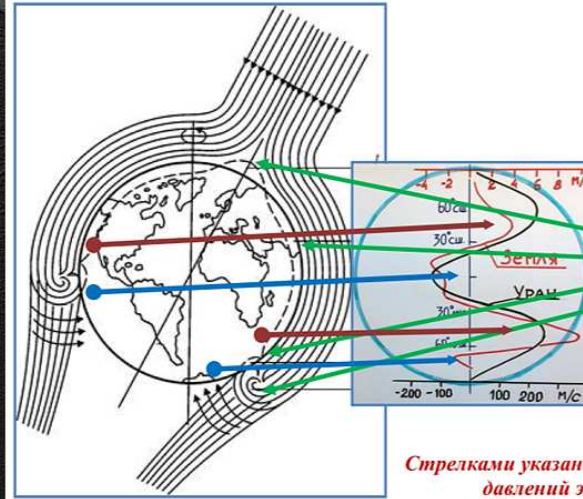
Эфирный вихрь планеты по имени “Земля”

Эфирный вихрь “Земля”:

На изображениях наблюдается прямое соответствие внешних эфирных потоков планетарным потокам водного и воздушного бассейнов планеты, локальных зон ураганов (ревущие сороковые), приливных течений и т.п.

Знакопеременный характер направлений обусловлен проекцией скоростей “Твердого Тела” эфирного вихря Земли на ее Шарообразную форму – где то опережает, где то опаздывает.

Процессы в коре планеты, и в ее газо - жидкой оболочке, формируются и определяются характером течения ее внутренних эфирных потоков, движение которых совпадают с силами, рожденными “Градиентами Эфирного Давления” планеты Земля.



Обтекание Земли эфирным ветром (В.В. Низовцев):

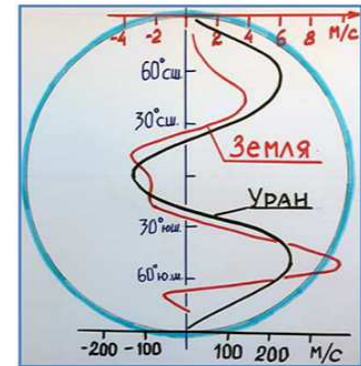


Схема ветров на Уране и Земле по широтам

1. зона повышенного давления эфира;
2. зона пониженного давления эфира;
3. зона захвата влаги из океана;
4. присоединенный торoidalный вихрь эфира, захватывающий зимой воздух атмосферы

Эпюры скоростей “эфирных ветров”.

Стрелками указаны зоны повышенного / пониженного давлений эфира на поверхности Земли.

Астрономические явления и гравитация – реакция материи на вихревое и ускоренное движение эфира

Ускорение гравитирующего объекта и Градиенты Эфирного Давления

Ускорение Свободного Падения $a_g = f(R)$, созданного "сильно гравитирующим" эфирным вихрем, и **Градиент Эфирного Давления** $\text{Grad } P_E$, создающими ускорение мат-объектов в области "сильной гравитации", порожденной вихрем **Гравитационного Эфирного Преобразователя** $\Gamma_E = a_g / R$.

$$\Delta F_i + \Delta F_p = 0 ; \Delta F_i = dm \cdot a_g = \rho \cdot dS \cdot dR \cdot a_g ; \Delta F_p = -k \cdot dS \cdot \text{Grad } P_E \cdot dR ; a_g = -k \cdot \rho^{-1} \cdot \text{Grad } P_E ;$$

- a_g [$m \cdot s^{-2}$] – ускорение свободного падения, созданное "гравитирующим" объектом,
- $\text{Grad } P_E$ [$kg \cdot m^{-2} \cdot s^{-2}$] – градиент эфирного давления, созданный эфирным вихрем,
- ρ [$kg \cdot m^{-3}$] – плотность материи, находящейся под действием градиента эфирного давления,
- k – безразмерный коэффициент гравитационного эфирного сцепления с материальным объектом.

Отсутствие зависимости ускорения материального тела от плотности – $da_g/d\rho = 0$ и $a_g \neq f(\rho)$, если $k \propto \rho$, введем $k = k_v \cdot \rho$, откуда $a_g = -k_v [m^3 \cdot kg^{-1}] \cdot \text{Grad } P_E [kg \cdot m^{-2} \cdot s^{-2}]$

Зависимость ускорения a_g от радиуса R :
 $a_g = (g_0 \cdot R_0^2) / R^2 ; g_0 \cdot R_0^2 \approx \text{Const} ;$
 $\text{Grad } P_E = a_g / k_v = (g_0 \cdot R_0^2 / k_v) / R^2 ;$

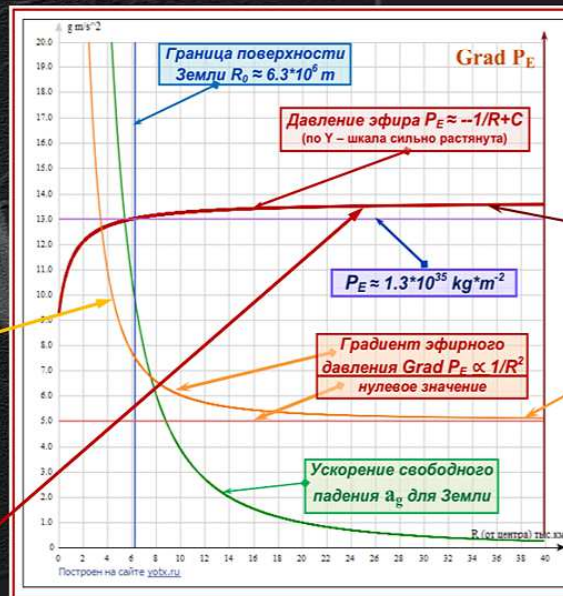
$\text{Grad } P_E = k_m [kg \cdot m^{-3}] \cdot M_E [m^3 \cdot s^{-2}] / (R[m])^2$
 где $M_E [m^3 \cdot s^{-2}] = (g_0 \cdot R_0^2)$ и $k_m = 1/k_v$.

$$\text{Grad } P_E \propto R^{-2}$$

$k_m [kg \cdot m^{-3}]$ – удельное эфирное сцепление

$P_E = \int \text{Grad } P_E \cdot dR = \int k_m \cdot M_E \cdot R^{-2} \cdot dR =$
 $-2 k_m \cdot M_E (1/R - 1/R_g) + C$, учитывая $R_g \gg R$,
 интеграл от R до R_g – предел действия гравитации;

$$P_E = +C - 2 k_m \cdot M_E / R (\gg 0)$$



Ускорение, эфирное давление, и градиент эфирного давления в области Земли.

Для наглядности графики показаны не в одинаковых масштабах:

- график Давления Эфира P_E по оси Y значительно сильно растянут по отношению к графику градиента эфирного давления.

- график Градиента Эфирного Давления $\text{Grad } P_E$ по оси R совпадает с графиком ускорения по оси R , а по Y смещено нулевое положение, по отношению к графику давления эфира, сильно растянут.

Астрономические явления и гравитация – реакция материи на вихревое и ускоренное движение эфира

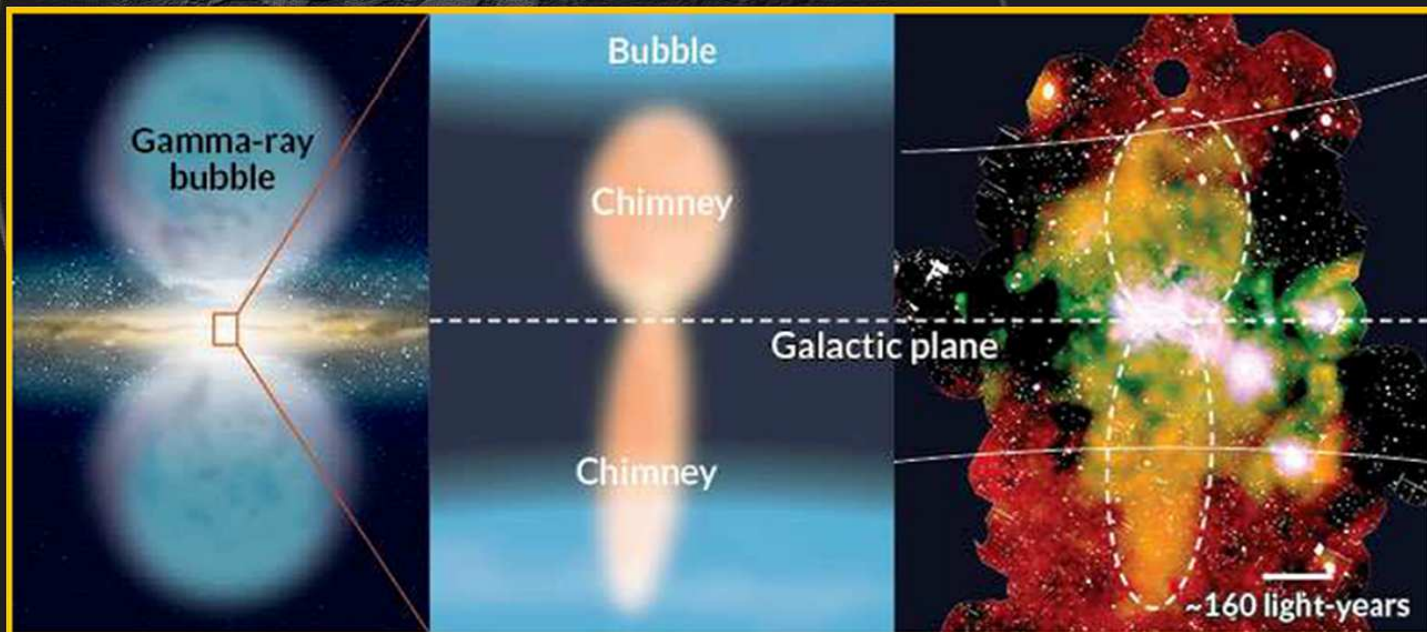
GED-0*

Центр (Ядро) Галактики “Млечный Путь” (МП)

Области рентгеновской радиации (“пузыри Ферми”):

Слева - гамма пузыри Ферми (2010 г.) – объекты, размером в целую галактику (> 8 кпк каждый), справа в X-Ray диапазоне с масштабированием, в центре – расположение в галактическом диске.

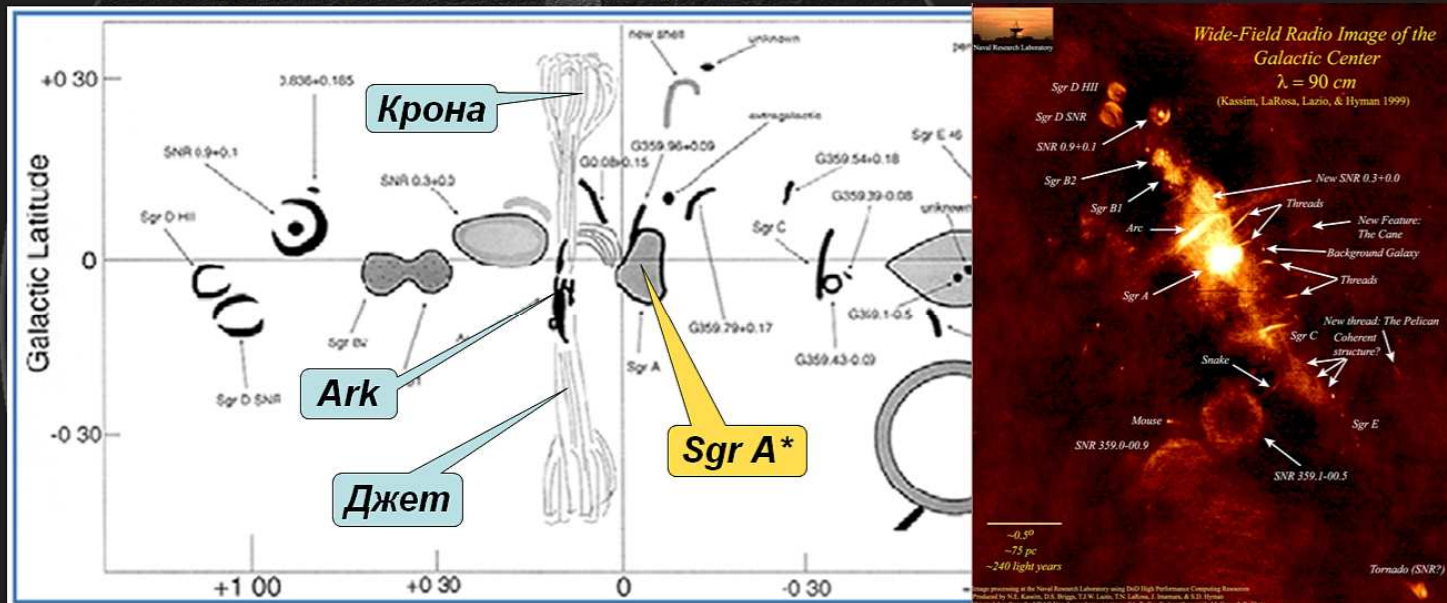
Область рентгеновской радиации Галактики “МП” говорит о том, что в центре нашей галактики существует **квazar с двухсторонним джетом** (правда жалкие его остатки), имеющий быстро расширяющийся ствол с относительно “слабым выбросом”, не выходящий за рамки диска.



Астрономические явления и гравитация – реакция материи на вихревое и ускоренное движение эфира

Центр (Ядро) Галактики “Млечный Путь” (МП)

Радиоизображение ($f = 333\text{MHz} / \lambda = 0.90\text{m}$) ядра Галактики “МП” (1 дел. = 75пк.) :



Центр галактического эфирного вихря (указан как **Арк**), где видны остатки **СТВОЛОВ ДЖЕТОВ** вместе с их **“кронами”**, **сверхмассивный звездный объект Sgr A*** (как бы центр гравитации галактики “МП”) смещен от как в плоскости диска, так и вниз по оси диска на величину порядка ≈ 25 пк.!

“Пузыри Ферми” являются следствием выброса джетами разогнанных протонов и материальных сгустков за пределы галактического диска с выделением энергии при столкновении последних с галактическими газом и пылью в виде рентгеновского и гамма излучений.

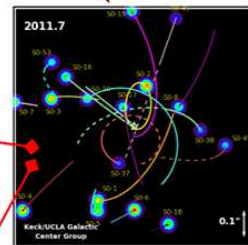
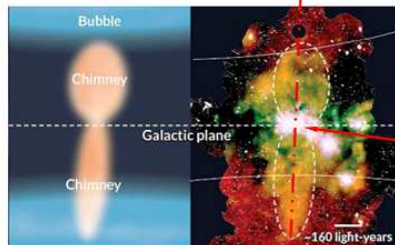
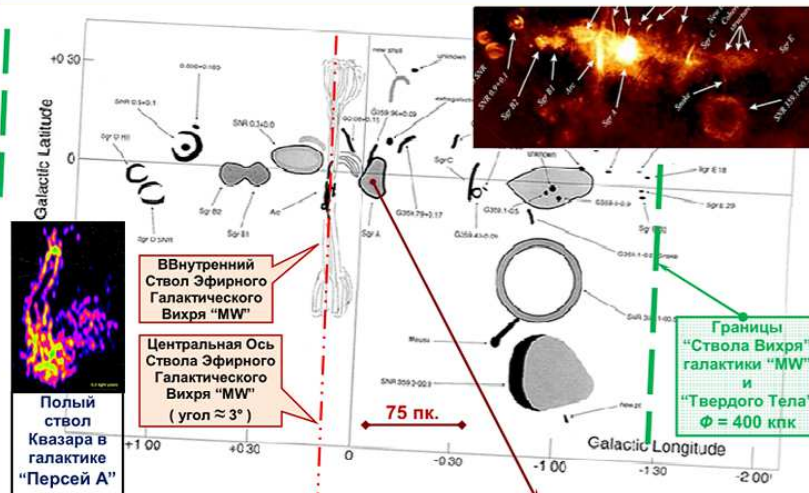
Астрономические явления и гравитация – реакция материи на вихревое и ускоренное движение эфира

Стволовая часть галактического эфирного вихря галактики “МП”

Гравитация галактики определяется в первую очередь не массой “черной дыры”, находящейся в **крене ядра галактики**, а **гигантской массой ускоренно движущегося в вихре эфира, созданного в Галактике Градиентами эфирного давления.**

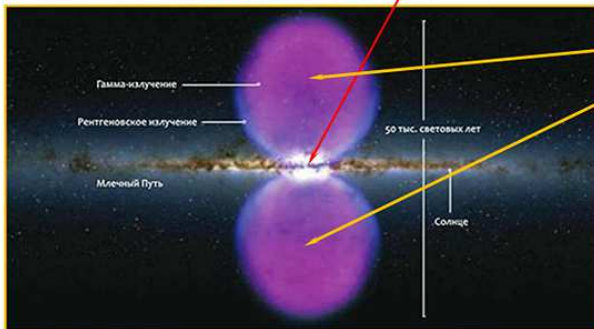
В центре Галактического Эфирного Вихря внутри ствола может находиться такая структура как **“аккреционный диск”** – раскрученная вихрем эфира материя, уносимая джеттами за пределы ядра или галактики.

Показаны зоны воздействия **Галактического эфирного вихря “MW”** на материальные компоненты галактики “МП”, для сравнения показана зона эфирного вихря сверхмассивного звездного объекта **Sgr A*** (“**черной дыры**”) который не визуализируется в оптическом диапазоне частот.



Выделена область звезды Sgr A* размером 8000×8000 а.е.

Гравитационн. диаметр звезды Sgr A* ($\Phi = 0.9$ пк.) меньше кружка на стрелке



Источником гравитации галактики “Млечный Путь” является Галактический Эфирный Вихрь “MW”, а не сверхмассивная звезда Sgr A*, или “черные дыры”

Галактика с Квазаром (типа “Млечный Путь”)

Галактический эфирный вихрь

Ядро - Балдж (включая Бар)

«Ствол Эфирного Вихря»

Керн ядра

Quasar ($M_Q \approx 3.51 \cdot 10^6 M_S$) $\Phi \approx 0.33$ а.е.

(сверхмассивный звездный объект)

Аккреционный Диск или старые звезды $\Phi \approx 600$ -:- 1000 а.е.

“Джет Галактического Вихря” $\Phi \approx 0.4 - 0.5$ пк.

Газ и пыль или пожилые звезды $\Phi \approx 3.8$:-:3.8 пк.

◆= “Граница Керна (Kern Border)” == $\Phi \approx 4.0$ пк.

“Ствол Галактич. Вихря” $\Phi \approx 400$ пк. $V_{EP} \propto \omega R$

◆= Граница “Твердого Тела!” $\Phi \approx 400$ пк. ◆=

Галактическое Ядро $\Phi \approx 1.0$ -1.2 кпк.

◆= “Граница Галактического Ядра (Boundary of Core Galactic)” ◆=

Тело Балджа (wall $\delta \approx 2.0$ кпк.) $\Phi \approx 4.5$ кпк.

Тело Бара $\Phi \approx 5.5$ кпк. $g_{GB} \propto 1/R^2$

◆= “Граница Ядра (Boundary of Core)” = $\Phi \approx 5.5$ кпк.

Переходная зона к низкой гравитации (начало) $\Phi \approx 5.5$ кпк.

Начало Галактического диска $\delta \approx 0.3$ кпк. $\Phi \approx 5.8$ кпк.

Переходная зона к низкой гравитации (конец) $\Phi \approx 6.0$ кпк.

◆= “Граница Вихревой Гравитации (Boundary of Vortex Gravity)” ◆=

“Граница Гравитации Эфирного Вихря” (Gravity of Boundary Etheric Vortex)

Спиральные Галактические Рукова $\Phi \approx 6.0$ -:- 60 кпк. $g_{VB} \propto 1/R$

Звезда по имени Солнце $R \approx 8.2$ кпк., $\Phi \approx 16.4$ кпк.

Периферия Галактического диска (слабое приталкивание эфирным потоком)

◆= “Граница Галактики (Border Galaxy)” ◆= $\Phi \approx 60$ -:- 65 кпк.

“Граница Галактического Эфирного Вихря” (Boundary of Galactic Ether Vortex)

Гравитация сверхмассивного звездного объекта $\Phi_g \approx 0.9$ пк.

Притяжение Галактического Эфирного Вихря - Квазара “МП”

- P_{E_Quasar}

- P_{E_CorBal}

- P_{E_CorGal}

- P_{E_GalBal}

Grad P_{EG}

- P_{E_GrvVor}

- P_{E_EXT}

Зоны гравитации галактического вихря “MW” и распределение давлений Эфира

Ядро Галактики
 Ствол Вихря Галактики
 - Керн Ядра Галактики
 Джет Эфирного Вихря
 Крона Джета Вихря
 - Граница Керна Вихря
 “Твердое тело” ядра
 Галактический балдж
 Галактический бар
 Граница Ядра Галактики
 Переход Гравитации в Зону Приталкивания
 Галактический Диск
 Спиральные рукава
 Солнце (8.2 кпк)
 Граница Диска Галактики
 Граница Приталкивания
 Пыль и газы Галактики

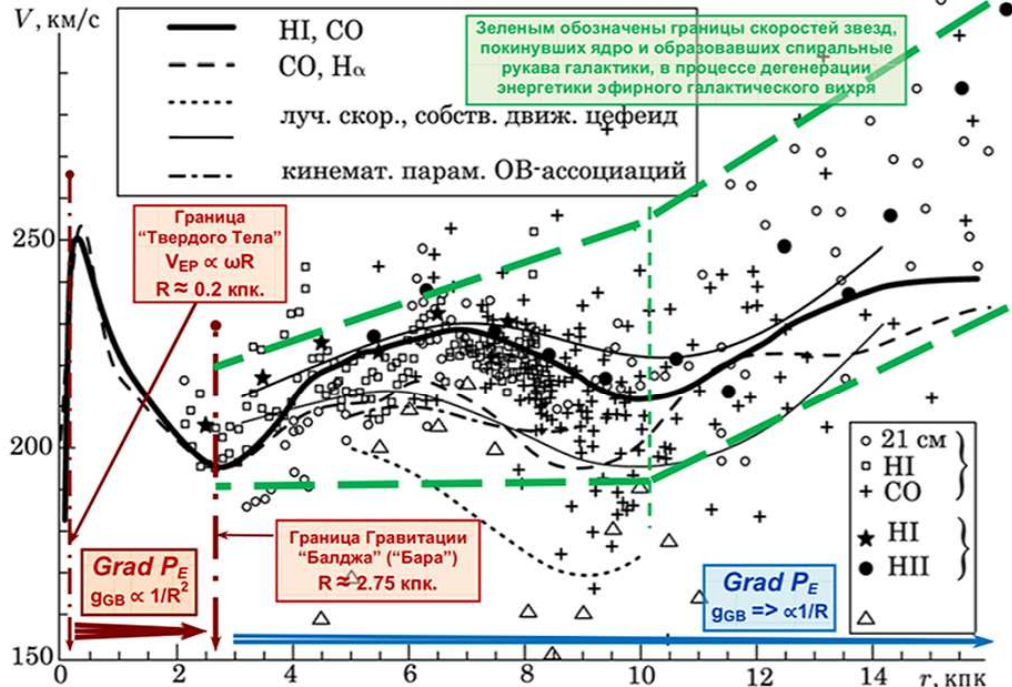
Астрономические явления и гравитация – реакция материи на вихревое и ускоренное движение эфира

GED-14

Эфирный вихрь. Твердотельное вращение ядра.

Эффект “Твердого Тела” Галактики “МП” не может быть объяснен в рамках Стандартных гравитационных моделей, он присущ только стволу части любого вихря, включая эфирные вихри всех размеров – от Протонов до Галактик.

Внутри ствола в центре минимальное эфирное давление, на выходе – максимальные скорости вылета эфира в джеты,кратно превышающие световую. В этом объеме пространства, эфирный поток закручен, сильное преобладание продольной скорости эфира.



Кривые вращения Галактики (рисунок из работы [260]), полученные разными авторами: [470] – сплошная толстая линия, по данным HI, CO, $R_{\odot} = 8,5$ кпк; [1186] – штриховая линия, CO, H α , $R_{\odot} = 8,5$ кпк; [48] – пунктирная линия, по лучевым скоростям и собственным движениям классических цефеид, $R_{\odot} = 7,1$ кпк; [214] – сплошная тонкая линия, для случаев $R_{\odot} = 7,5$ кпк и $R_{\odot} = 8,5$ кпк; [49] – штрих-пунктирная линия, по кинематическим параметрам системы ОВ-ассоциаций, $R_{\odot} = 7,1$ кпк; [968] – ○ (по линии 21 см), □ (HI), + (CO), $R_{\odot} = 8,2$ кпк; [420] – скорость вращения по HI (*), для областей HII (●), $R_{\odot} = 8,5$ кпк; [300] – скорость вращения, полученная из анализа кинематики планетарных туманностей и AGB-звезд (△), $R_{\odot} = 7,9$ кпк

Астрономические явления и гравитация – реакция материи на вихревое и ускоренное движение эфира

Эфирный вихрь. Спиральные рукава.

Карта скоростей звезд галактики “Млечный Путь” (National Astronomical Observatory of Japan).

Проводилось автоматическое измерение Группового движения звезд галактики аппаратом GAIA:

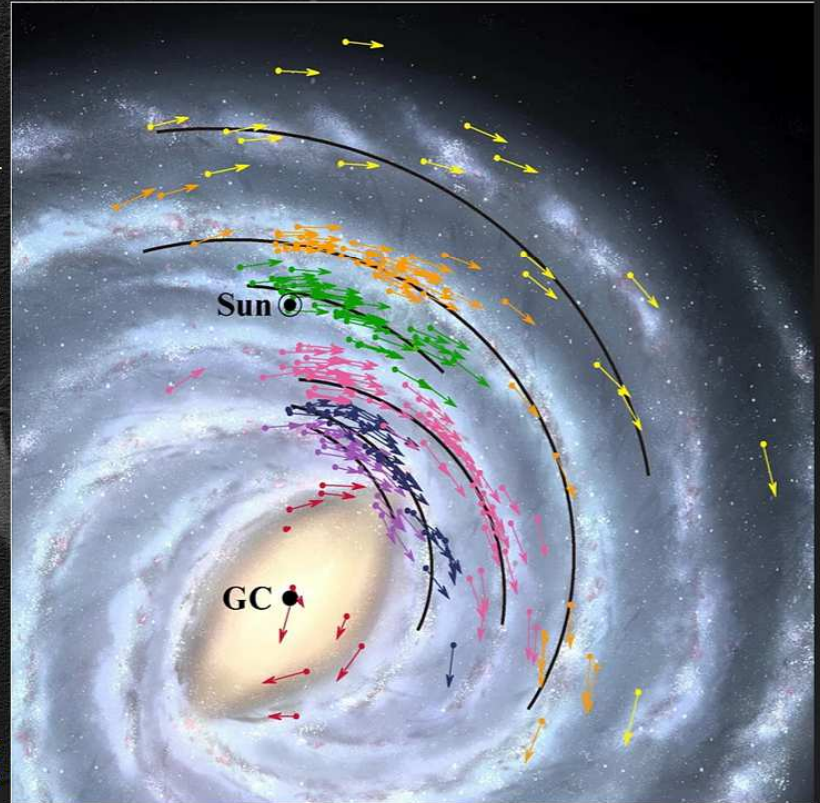
– в Балдже (частично и в Баре), работает гравитационное притяжение по законам Кеплера, вызванное сильным градиентом эфирного давления, что приводит к ускорениям звезд, обратно пропорционально квадратам расстояний до центра:

$$(g_{GB} \propto 1/R^2).$$

– от границ Балджа (где притяжение уже не работает) и до границ Галактики градиент эфирного давления сильно слабеет, этим же объясняется и увеличение разброса скоростей и утолщения Звездного Галактического Диска на периферии галактики:

$$(g_{VB} \sim \propto 1/R).$$

Векторы групп звезд имеют небольшое преобладающее радиальное движение от центра галактики, со средней скоростью **~ 20 км/с**, и практически мало кто к центру! – это говорит о том, что приталкивание эфирных потоков недостаточно для удержания звезд в рукавах – **нет круговых орбит!**



Астрономические явления и гравитация – реакция материи на вихревое и ускоренное движение эфира

Виктор Амбарцумян - “Взрыв на джете галактики M87” (NGC 4486)

В 50-х годах 20 столетия В. А. Амбарцумяном было установлено и неопровержимо им доказано наличие процесса повсеместного образования во Вселенной звезд и галактик из сверхплотной материи, которая катастрофически взрывается и распадается.

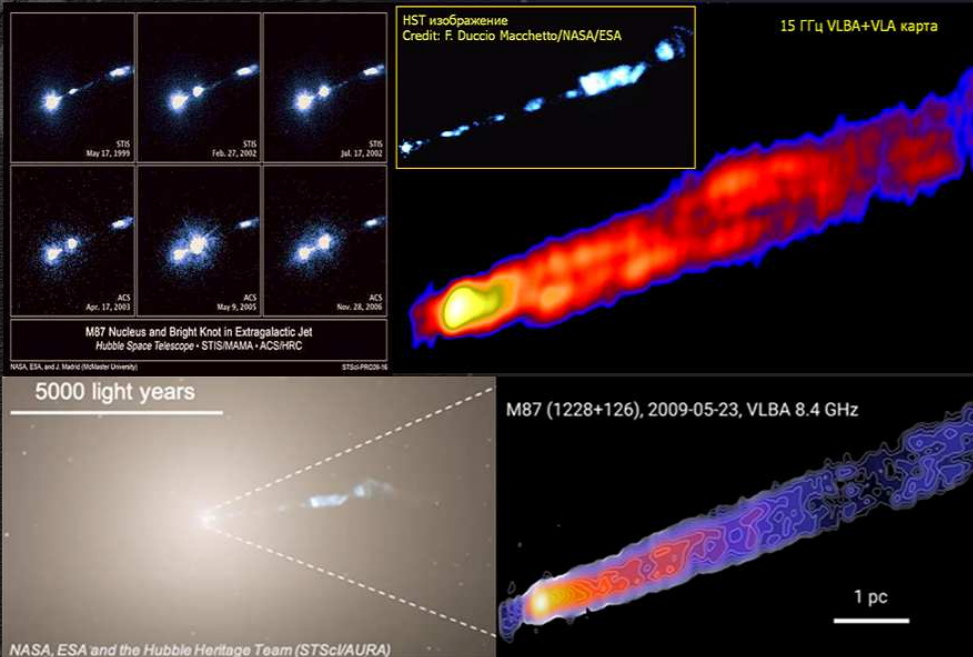
У него украли революционную идею иерархического деления «Дозвездного Адрона» (так он назвал процесс взрывного рождения звезд) и переименовали его “Черной Дырой”.

Исследования взрывов в галактике Маркарян-87 (M-87 – NGC 4486) показал выброс гигантских масс из джета квазара галактики плазмы и протонов релятивистских скоростей с превращением последних в молодые звезды.

Слева оптический диапазон, а справа радиосъемка (Радио-Астрон, диаметр джета в основании составляет ~ 0.5 пк. !

Активные ядра галактик Амбарцумяна (например, **M87** и др.) теперь называют “черные дыры”!

“Любое новое учение переживает три этапа: сначала его не замечают, затем опровергают и, наконец, “улучшают”, приспособляя к своим интересам”
И. Кант



Астрономические явления и гравитация – реакция материи на вихревое и ускоренное движение эфира

Эфирный вихрь по имени Квазар

Хэлтон Арп, профессиональный астроном (был ассистентом Эдвина Хаббла) доказал что объекты с высоким **“красным смещением”** не обязательно должны быть очень далеко, на чем и основана вся теория **“Большого Взрыва”** и **“стандартная космология”** теряет всякий смысл!

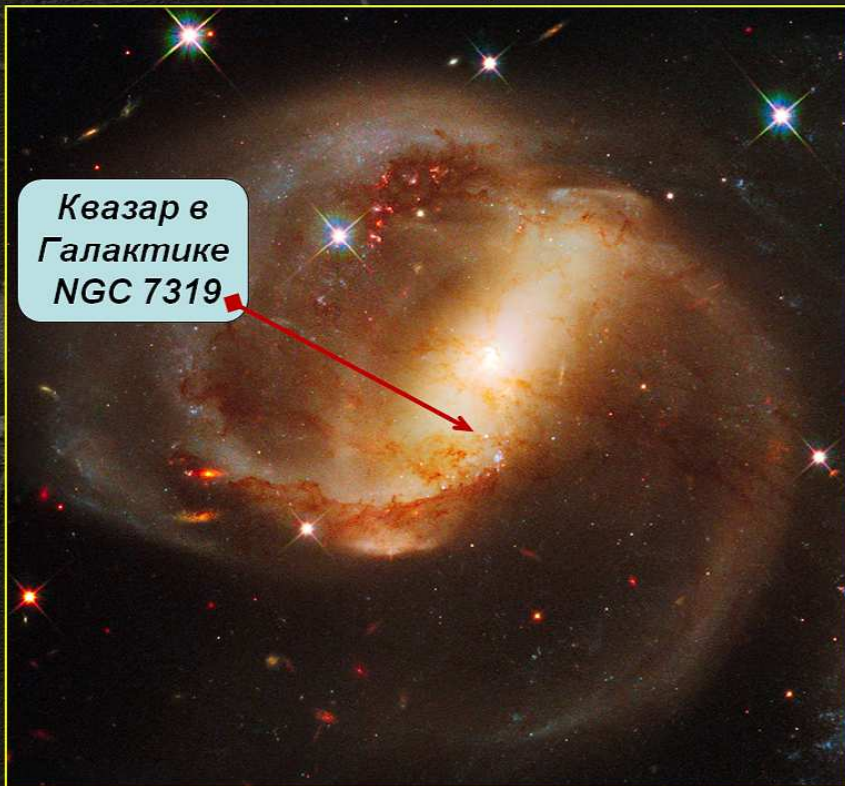
Достаточно рассмотреть на рисунке квазар в галактике **NGC 7319** :
красное смещение галактики NGC 7319
($z = +0.0225$), $R \approx 0.31 \cdot 10^9$ св. лет
Квазар, обозначен стрелкой, смещение
($z = +2.11$), $R \approx 29.2 \cdot 10^9$ св. лет

Квазар должен быть бы дальше в **~ 94 раза дальше** Галактики **NGC 7319** – **«Красное Смещение = расстоянию»** приводит к абсурду!!

Предположение, что Квазар двигается в направлении Земли неприемлем, т.к. смещение было бы синим, не красным!!
(ответ глобальным оппонентам)

Разность смещений $z = 2.0875$, и сдвиг всех частот : $f_0 / f' = z + 1 = 3.0875$ т.е. частота излучения меньше в **~3 (три)** раза меньше частоты ядра галактики !!

Сдвиг частоты излучения объекта вниз есть следствие сильной **“гравитации”** !



Квазар в
Галактике
NGC 7319

Астрономические явления и гравитация – реакция материи на вихревое и ускоренное движение эфира

Космологическое Красное Смещение центра галактического вихря

Опыт Паунда и Ребке, (1960 г., эффект Мёссбауэра), показал что частоты ядерных процессов f' и f в изотопах для разности высот h связаны как $f'/f = 1 - g'h/c^2$ - что полностью совпало с частотным сдвигом $f'/f = 1 - a'h/c^2$, по *Баллистической теории Ритца (БТР)*.

Эффект Ритца $l' = l*(1+a*L/c^2)$ переходит в закон "красного смещения" *Хаббла* $l' = l*(1+LH/c)$, если взять $H = a/c = V^2/(R*c)$, что согласуется с ОТО, но имеет совершенно другой смысл!

Космологическое Красное Смещение от сверхмассивного звездного объекта SgrA*

По формуле Ритца в расчёте сдвига $\Delta\lambda$ надо учесть переменность $a(R)$ и интегрировать прирост длины волны $d\lambda = (\lambda/c^2)*(a*dR)$ на каждом элементарном участке пути dR , интегрируя вдоль R выражения $d\lambda = \lambda*G*M*dR/(R^2*c^2)$ в пределах изменения R от R_{A^*} , равного радиусу звезды, до R_{gA^*} , равного радиусу окончания гравитации звезды, где $a \approx 0$ (для сверхмассивного звездного объекта **SgrA***).

Сдвиг длины волны объекта **SgrA***:
 $\Delta\lambda = \lambda GM*(1/R_{A^*} - 1/R_{gA^*})/c^2$,
 или с учётом $R_{gA^*} \gg R_{A^*}$, и зная, что $g_{A^*} = G*M_{gA^*}/R_{A^*}$ получим
 $z = \Delta\lambda/\lambda = g_{A^*}*R_{A^*}/c^2 = 0.102$.

Уменьшение частоты от сверхмассивного звездного объекта **SgrA*** на стороне регистрации:
 $f_0/f_{Reg} = (1+z) = 1.102$.

Таблица параметров Гравитационного Эфирного Преобразователя Γ_{E0} ,

	g (м/с ²)	R (тыс.км)	$\Gamma_{E0} = g/R$ (с ⁻²)	ρ (кг/м ³)	$\rho/(\Gamma_{E0}*10^3)$	$1/\omega$ (суток)
Sgr A*	$(g=1.84*10^5$ и $R=5*10^4)$		$\Gamma_{E0} = 3.68*10^{-6}$	$\rho = 17,7*10^3$	308	>1000 ??
Солнце	$(g=271.$ и $R=695.)$		$\Gamma_{E0} = 0.39*10^{-6}$	$\rho = 1.41*10^3$	3.62	25.4
- Меркурий	$(g=3.68$ и $R=2.44)$		$\Gamma_{E0} = 1.51*10^{-6}$	$\rho = 5.42*10^3$	3.59	58.8
- Венера	$(g=8.88$ и $R=6.05)$		$\Gamma_{E0} = 1.47*10^{-6}$	$\rho = 5.25*10^3$	3.57	243
- Земля	$(g=9.80$ и $R=6.38)$		$\Gamma_{E0} = 1.54*10^{-6}$	$\rho = 5.52*10^3$	3.58	1.000
- Марс	$(g=3.68$ и $R=3.39)$		$\Gamma_{E0} = 1.14*10^{-6}$	$\rho = 3.94*10^3$	3.46	1.025
- Луна	$(g=1.62$ и $R=0.87)$		$\Gamma_{E0} = 1.86*10^{-6}$	$\rho = 3.35*10^3$	1.80	27.32
- Юпитер	$(g=24.0$ и $R=69.9)$		$\Gamma_{E0} = 0.34*10^{-6}$	$\rho = 1.33*10^3$	3.91	0.414
- Сатурн	$(g=9.74$ и $R=58.2)$		$\Gamma_{E0} = 0.17*10^{-6}$	$\rho = 0.69*10^3$	4.05	0.444
- Уран	$(g=7.51$ и $R=25.3)$		$\Gamma_{E0} = 0.30*10^{-6}$	$\rho = 1.29*10^3$	4.30	0.718
- Нептун	$(g=11.0$ и $R=24.6)$		$\Gamma_{E0} = 0.45*10^{-6}$	$\rho = 1.64*10^3$	3.64	0.671

(В таблицу добавлен сверхмассивный звездный объект Sgr A*, по данным, вычисленным ранее ²).

Астрономические явления и гравитация – реакция материи на вихревое и ускоренное движение эфира

Эфирный вихрь. “Красное смещение” – проблема астрономии!

Данные скоростей, расстояний и масс во Вселенной основываются на абсолютно ложной парадигме – “Красное Смещение = эффект Доплера”

Согласно официальной науке далёкие галактики “удаляются” от нас, средняя скорость “удаления” скопления галактик созвездии Девы составляет 1000 км/с. В настоящее время астрономы обнаружили объекты, удаляющиеся со скоростями, равными 80% и более % от скорости света.

Это абсурдно: при разгоне в ускорителях электронов и протонов приходится на каждом шаге добавлять энергию, для поддержания движения с около световыми скоростями в вакууме, а тут целые галактики движутся – кто этот внешний Актор, который обладает энергией, достаточной для разгона до световых скоростей?

Исследования показывают зависимость скорости света от гравитации или скорости движения:

- эксперименты **Паунда-Рибки** по определению *Гравитационного Красного Смещения* Земли или
- эксперименты по радиолокации Венеры по сложению скорости излучателя со скоростью света :

Брайан Уоллес - “Радарные измерения относительной скорости света в космосе”.

Развитие техники все время уменьшает постоянную Хаббла ($V_r = H_0 \cdot R$), что бы не превысить скорость света галактик, удаленных на границах наблюдения.

Исходя из логики равенства нулю интегральной скорости Галактик во Вселенной, график скоростей необходимо повернуть так, как это показано на рис. чтобы линия скоростей стала горизонтальной от 0 - у Галактик будут как положительные, так и отрицательные скорости для любого наблюдателя !



Астрономические явления и гравитация – реакция материи на вихревое и ускоренное движение эфира

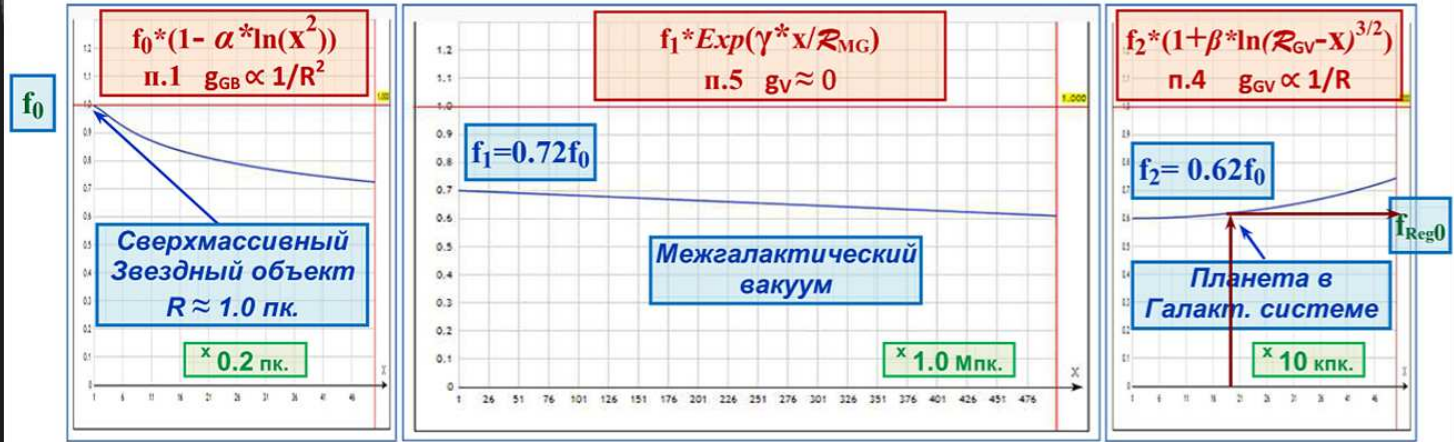
Красное смещение – камень преткновения современной астрономии!

Космологическое Красное Смещение сверхмассивного звездного объекта

Гравитационное Красное Смещение, подтвержденное **Р. Паундом и Г. Ребкой**, это существенная часть **Космологического Красного Смещения** для объектов с сильно выраженной "гравитацией", порожденной галактическим эфирным вихрем, за вычетом красного смещения, вызванного диссипацией энергии излучений при прохождении через гигантские межгалактические пространства!

Если обнаружен квазар с **$z = 4.0$** , это значит, что ультрафиолетовое излучение с длиной волны **300nm** превращается в инфракрасное излучение с длиной волны **1500 nm**, т.е. частота излучения **меньше в 5 раз, и это не предел!!** Есть квазар, имеющий **$z = 7,085$** (частота излучения **меньше в 8 раз !!**).

Пример изменения частот излучения при прохождении среды с разными характеристиками от места генерации (f_0) до места регистрации пришедшего излучения (f_{Reg}) в упрощенном виде.



Изменение излученной частоты сигнала при выходе из сверхмассивного звездного объекта.

Астрономические явления и гравитация – реакция материи на вихревое и ускоренное движение эфира

Красное смещение – камень преткновения современной астрономии!

Космологическое Красное Смещение центра галактического вихря

Графики построены по нижеприведенным формулам:

а) падение частоты эфирного вихря при прохождении через область с **Grad PE $\propto 1/R^2$** :

$$f_{n+1} = f_n (1 - \alpha * \ln(x^2)), \text{ эфирный "ЭМ" вихрь движется внутри зоны "гравитации" с } g_{GV} \propto 1/R^2;$$

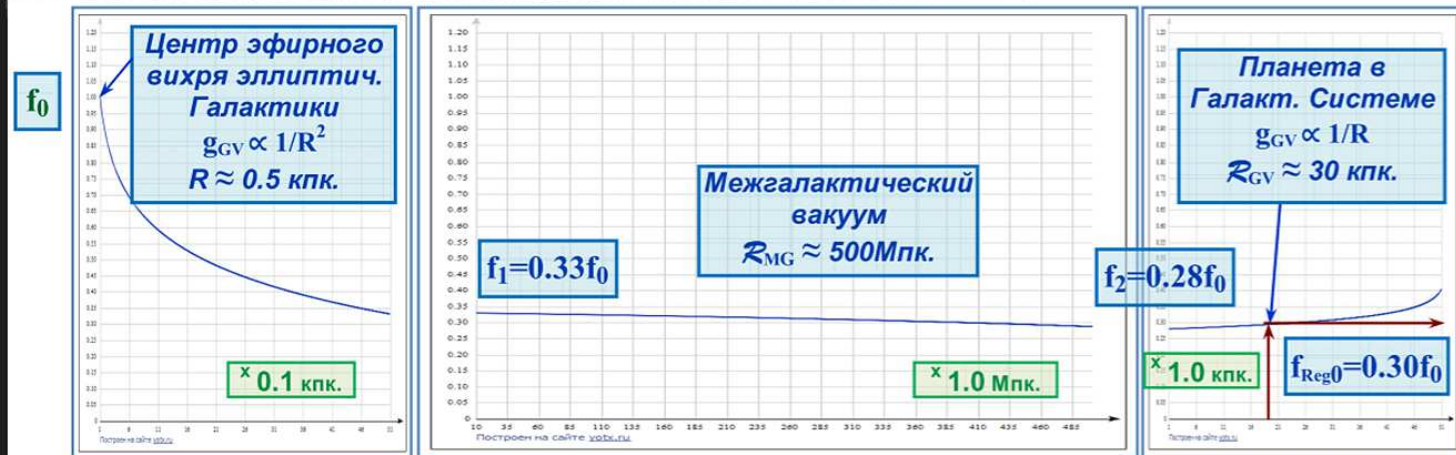
б) падение частоты эфирного вихря при прохождении через область с **Grad PE ≈ 0** :

$$f_{n+1} = f_n * \text{Exp}(-\gamma * x / R_{GV}), \text{ - эфирный "ЭМ" вихрь вне "гравитации" и "приталкивания";}$$

- R_{GV} – расстояние, проходимое эфирным вихрем с $g_{GV} = 0$;

с) увеличение частоты эфирного вихря при прохождении через область с **Grad PE $\approx \propto 1/R$** :

$$f_{n+1} = f_n (1 + \beta * \ln(R_G - x)^{3/2}), \text{ - эфирный "ЭМ" вихрь движется в зоне "приталкивания", } g_{GV} \approx \propto 1/R;$$

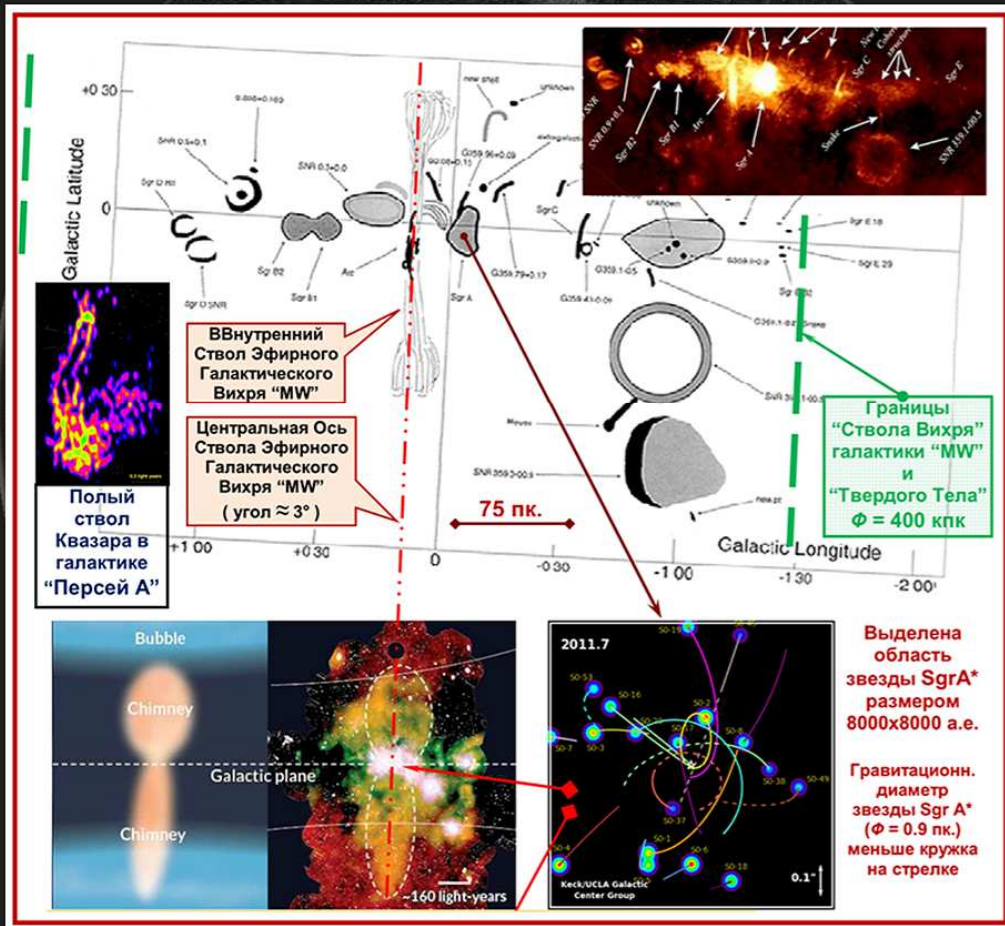


Изменение излученной частоты сигнала при выходе из центра галактического вихря.

“Градиентная Эфиродинамика” – физика эфира

GED-22

Астрономические явления - реакция материи на вихревое движение эфира



Основные тезисы:

1. Эфиродинамический привод Планет звездных систем.
2. Эфиродинамический привод Звездных систем в Галактиках.
3. Эфиродинамическая модель квазаров и других галактических источников излучения.
4. Решена проблема скоростей Звезд Галактик.
5. Решена проблема ядра галактик - "Твердого тела".
6. Решена проблема "Скоростей звезд" в галактических рукавах.
7. Эфиродинамическое решение т.н. "Красного смещения" и диссипации энергии "ЭМ" излучений.

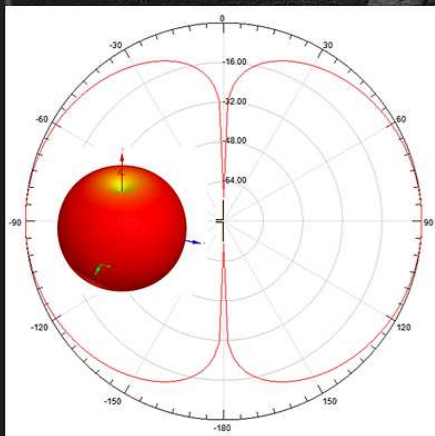
Динамика “Электро-Магнитных” процессов – развитие Эфиродинамики

“Электро-Магнитная волна” как продольная (не ударная)эфирная волна.

Изменение эфирного давления на поверхности “ЭМ” диполя вызывает продольное распространение переменного эфирного давления по псевдосфере вне так называемой “ближней зоны”, в которой надо учитывать интегральное воздействие элементарных частей антенны “ближней зоны” в точке измерения, а вне ее можно рассматривать как точечный объект, соответствующий “дальней зоне”.

Фронт распространения “эквипотенциальной поверхности” переменного эфирного давления на удалении от “ЭМ” излучателя представляет собой слегка деформированную сферу с вдавленными полюсами, похожую на “яблоко”, более правильно фронт представляет собой псевдотороидальную эквипотенциальную поверхность градиентов эфирного давления.

Градиент переменного эфирного давления в точке пространства, удаленного от источника – генератора “ЭМ” волны, действует в радиальном направлении, имеет знакопеременный характер, синхронный с источником излучения как для несущей частоты, так и для модулирующего сигнала.



Распространение продольной (т.н. “электромагнитной волны”) эфира как переменного градиента эфирного давления в продольном направлении от источника в эфирном пространстве. Слева виден фронт распространения продольной волны за несколько периодов колебаний излучателя.

Градиентная Эфиродинамика / GED /
http://www.course-as.ru/AEM_GE/AEM_GED.html

Градиентная Эфиродинамика (Gradient EtheroDynamics)
<https://dzen.ru/id/5f2bb1d3d4bc814db7d741a2>

Градиентная Эфиродинамика Мира
<https://rutube.ru/channel/23916173/>

*Институт Теоретической и
Прикладной Эфиродинамики*
<https://studfile.net/itipe/>

Авшаров Евгений Михайлович
ejen@mail.ru

Спасибо

Сентябрь 2022г.